

Sınırlı Kaynaklı Ortamlar için Yapay Sinir Ağları Bazlı Uyku Fazları Sınıflandırılması Neural Network Based Sleep Phases Classification for Resource Constraint Environments

Berkay Köprü
Koç Üniversitesi
İstanbul, Türkiye
bkopru17@ku.edu.tr

Murat Aslan, Alisher Kholmatov
Maxim Integrated
İstanbul, Türkiye
{murat.aslan, alisher.kholmatov}@maximintegrated.com

Özetçe —Uyku vücudun kendini yenilediği bir süreç olup, bu yenilenmenin etkinliği ise uyanmanın belli uyku fazlarında ne kadar süre geçirdiğiyle doğrudan ilintilidir. Bu sebeple, giyilebilir teknolojiler ile uyku değerlerinin takip edilmesi hem araştırmacılar hem de endüstri tarafından ilgi çekici bir konudur. Mevcut uyku takibi çözümlerinin en gelişmiş olanlarının işlemci hafızası ve işlem kullanımı yüksek olduğu gibi aynı zamanda da bulut veya cep telefonu bağlantısına ihtiyaçları vardır. Bu çalışmada tamamen gömülü ortamda çalışabilen ve bulut veya mobil telefon bağlantısına ihtiyaç duymayan hafıza açısından efektif bir mimari önerilmiştir. Çalışma kapsamında, uyku fazlarının sınıflandırılması için öznitelik çıkarımı ve Yapay Sinir Ağları bazlı bir istifleme sınıflandırmasından oluşan özgün bir mimari önerilmiştir. Önerilen yöntemi doğrulamak amacıyla 24 farklı kişiden 31 gecelik veri kümesi oluşturulmuştur. Bu veri kümesi 3 eksen ivme-ölçer (ACC) ve fotoplethysmogram (PPG) sensörleriyle donatılmış bileğe takılan bir cihaz ile toplanmıştır. Bu veri seti üzerinde çapraz doğrulama ile yapılan deneyler sonucu uyku fazı sınıflandırmasında ise karşılaştırılan sistemlerden F1 açısından %20 ve %14 daha iyi sonuç elde edilmiştir. Sistemin üstün performansının yanında, hafızada (RAM) sadece 4.2 kilobaytlık yer kaplıyor olması, sınırlı kaynaklı gömülü sistemler için çok uygun olduğunun göstergesidir.

Anahtar Kelimeler—Nabız, Kalp Hızı Değişkenliği, Uyku Fazı Sınıflandırması, Yapay Sinir Ağları, Giyilebilir Cihazlar.

Abstract—Sleep is restoration process of the body. The efficiency of this restoration process is directly correlated to the amount of time spent at each sleep phase. Hence, automatic tracking of sleep via wearable devices has attracted both the researchers and industry. Current state-of-the-art sleep tracking solutions are memory and processing greedy and they require cloud or mobile phone connectivity. We propose a memory efficient sleep tracking architecture which can work in the embedded environment without needing any cloud or mobile phone connection. In this study, a novel architecture is proposed that consists of a feature extraction and Artificial Neural Networks based stacking classifier. Besides, we discussed how to tackle with sequential nature of the sleep staging for the memory constraint environments through the proposed framework. To verify the system, a dataset is collected from 24 different subjects for 31 nights with a wrist worn device having 3-axis accelerometer (ACC) and photoplethysmogram (PPG) sensors. Over the collected dataset, the proposed classification architecture achieves 20% and 14% better F1 scores than its competitors. Apart from

the superior performance, proposed architecture is a promising solution for resource constraint embedded systems by allocating only 4.2 kilobytes of memory (RAM).

Keywords—Heart Rate, Heart Rate Variability, Sleep Phase Classification, Artificial Neural Networks, Wearable Devices.

I. GİRİŞ

Uyku, insanların beden ve zihinsel sağlığı için çok önemlidir [1]. Uyku sırasında, beden aktif olarak hafızanın derlenmesi ve yeniden yapılandırılması üzerinde çalışır. Uykusuzluğun, zihinsel yeteneklerdeki kayıpların yanında, kalp damar hastalıklarına da yol açtığı tespit edilmiştir [2].

Hipokampus, uyku döngüsünü sirkadiyen ritmin bir parçası olarak kontrol etmektedir. Kontrol edilen uyku döngüsü, hızlı göz hareketleri (REM) ve hızlı olmayan göz hareketleri (NREM) olarak iki temel evre arasında döngüsel olarak değişmektedir. Ayrıca, NREM fazı kendi içinde derin (DEEP/NREM 3-4) ve hafif (LIGHT/NREM 1-2) olarak ikiye ayrılır. Ayrıca LIGHT fazı DEEP ile REM arasındaki bir geçiş fazı olarak adlandırılır.

Uyku fazlarını tespit etmek için altın standart polisomnografi (PSG) yöntemidir. PSG yönteminin uygulanması sırasında, hastadan elektroensefalografi (EEG), elektrookulografi (EOG), elektromyografi (EMG), elektrokardiyografi (EKG), kapnografi ve hareket sinyalleri toplanır. Toplanan sinyaller 30 saniyelik aralıklara bölünerek yetkili birimler tarafından yorumlanır ve bu parçalar epok olarak adlandırılır. PSG yönteminin pahalı olması, çok geniş laboratuvar olanakları gerektirmesi ve birçok cihazın aynı anda hastaya bağlanması sebebiyle hastayı uyku sırasında rahatsız etmesi gibi sorunları vardır. PSG'nin oluşturduğu sorunları çözebilmek adına uyku takibinin kardiyorespiratuvar sinyalleri takip edebilen giyilebilir cihazlarla yapılması önerilmiştir [3].

Bu araştırmanın ana katkıları aşağıdaki gibidir:

- Doğal uykunun takibi için, PPG ve ivme ölçer verileri içeren özgün bir veri kümesi toplanması

- Uyku fazlarının döngüsel yapısını açığa çıkarabilen nabız ve kalp atım aralığı bazlı öznitelik çıkarımı önerimi
- Sınırlı kaynaklı gömülü ortamlarda çalışabilecek karmaşıklıkta olan istifleme ve yapay sinir ağları bazlı sınıflandırma yöntemi önerimi

A. İlgili Çalışmalar

EEG bazlı uyku fazı sınıflandırılması çalışmaları [4], [5] gömülü ortamların kısıtlarını dikkate almamışlardır. Mikkelson vd. [5] EEG, EOG ve EMG sinyallerini zaman-frekans imgelelerine çevirip önce evrişimli sinir ağları (CNN) benzeri katmana daha sonra da iki katmanlı tekrarlayan sinir ağlarına (RNN) aktarmıştır. [5] ise kişisel bilgileri kullanarak 17 milyon parametrelilik yaklaşık 68 megabaytlık bir çözüm sunarak Uyanıklık (WAKE), REM, NREM1, NREM2 ve NREM3 olmak üzere 5 sınıf sınıflandırmada 0.87 doğruluk performansına ulaşmıştır.

Uyku araştırmalarındaki bir diğer eğilim ise, yüksek örnekleme hızına sahip EKG sensörünü kullanarak kalp hızı değişkenliği (HRV) bazlı özniteliklerle uyku analizi yapmaktır [6]. Mendez vd. [6] çalışmalarında 128 Hz ile toplanmış kalp atım aralığı sinyalinden, zaman ve frekans bazlı HRV öznitelikleri çıkarıp Saklı Markov Modelleri ile REM, NREM, ve Uyanıklık (WAKE) olmak üzere 3 sınıflı sınıflandırmasını 0.79 doğruluk ile gerçekleştirmişlerdir. Ancak yüksek örnekleme hızı ve frekans düzleminde öznitelik çıkarmak gömülü ortamlar için hafıza yetersizliği sıkıntısına yol açmaktadır.

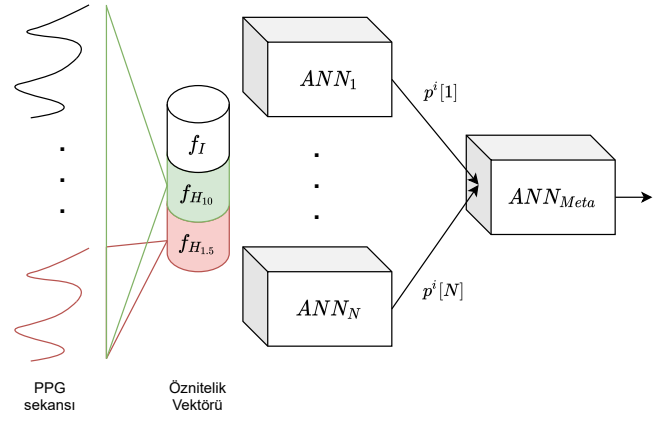
[7] ve [8], PPG ve ivme ölçer sensörlerini kullanarak uyku fazı sınıflandırmasını gerçekleştirmişlerdir. Zhang vd. [7] giyilebilir saatle topladıkları nabız bilgisinden HRV öznitelikleri çıkarıp çok düğümlü Uzun-Kısa Vadeli Bellek (LSTM) ile 5 sınıflı sınıflandırmasında 0.6 doğruluğa ulaşmışlardır. Ancak bu çalışma öznitelik çıkarımında kullanılan Ayrık Kosinüs Dönüşümü (DCT) ve sınıflandırma için kullanılan çok katmanlı ve karmaşıklığı yüksek olan LSTM kullanılması açısından sınırlı kaynaklı ortamlar için uygun değildir. [8] uyku fazlarını sınıflandırabilmek için kalp atım aralıklarından Kalp Hızı Değişkenliği (KHD) öznitelikleri çıkarmıştır. Zaman ve frekans alanında hesaplanan KHD öznitelikleri, ivme ölçerden hesaplanan özniteliklerle birleştirilerek öznitelik seviyesinde bir füzyon önerilmiştir. Uyku fazlarının sınıflandırılması çok sınıflı Bayesçi doğrusal ayırtaç ile yapılmıştır.

II. YÖNTEM

Bu bölümde uyku takibi için çıkarılan öznitelikler ve sınıflandırma tanımlanacaktır. Önerilen sistemin ilk adımı nabız ve kalp atım aralıkları sinyallerinden istatistiksel ve aritmetiksel öznitelikler çıkarmaktır. Çıkarılan özniteliklerle Yapay Sinir Ağları (ANN) eğitip, uyku fazları sınıflandırılması için kullanılmıştır.

A. Öznitelik Çıkarımı

Önerilen sistemin girdileri olarak nabız ve kalp atım aralığı kullanılmaktadır ve bu girdiler EKG yerine PPG'den hesaplanmış sinyallerdir. Anlık nabız ve kalp atım aralığının uyku fazlarına etkisinin incelenmesi için belli bir uzunluktaki pencere üzerinden bakılmaktadır. Çalışmamızda iki farklı pencereden çıkarılmış öznitelikler birleştirilip sınıflandırma yöntemine



Şekil 1: ANN kullanarak önerilen istifleme mimarisini

verilmiştir. Özellikle sistemin karmaşıklığını arttırmamak için zaman alanından öznitelik çıkarılmıştır.

1) *Nabızdan Öznitelikleri:* Bu çalışmada nabız örnekleme oranı (f_s) 25 Hz olarak kullanılmıştır, ve Şekil 1'de görüldüğü gibi 1.5 ve 10 dakikalık iki pencere üzerinden öznitelik çıkarılmıştır. Depolanan nabız vektöründen öznitelik olarak standart sapma, ortalama, minimum, maksimum ve 25. ile 75. persentilleri çıkarılıp f_{H_t} vektörü şeklinde ifade edilmiştir ve $t \in \{1.5, 10\}$.

2) *Kalp Hızı Değişkenliği Öznitelikleri:* Nabızdan ayrı olarak kalp atım aralıkları düzensiz gelmektedir, ve kalp atım aralıklarından çıkarılan özellikler KHD olarak adlandırılır. Depolanan kalp atım aralıklarından değişim katsayısı, standart sapma, ortalama öznitelik olarak kullanılmıştır. Kalp atım aralıklarının farklarından ise, standart sapma, karelerinin ortalamasının kökü (RMSSD), 50 milisaniyeden fazla olan farkların sayısı (NN50) ve toplam vektörün uzunluğuna oranı (PNN50), 20 milisaniyeden fazla olan farkların sayısı (NN20) ve toplam vektörün uzunluğuna oranı (PNN20) bazlı olmak üzere f_I vektörü oluşturulmuştur. Sonuç olarak sınıflandırma

Nabız (1.5 dk)	Nabız (10 dk)	Kalp Hızı Değişkenliği
Ortalama (1)	Ortalama (1)	Değişim katsayısı (1)
Standart Sapma (1)	Standart Sapma (1)	Standart Sapma (2)
Minimum (1)	Minimum (1)	RMSSD (1)
Maksimum (1)	Maksimum (1)	NN50 (1)
Persentil (2)	Persentil (2)	PNN50 (1)
		NN20 (1)
		PNN20 (1)
		Ortalama (2)

TABLO I: Önerilen mimarinin girdisi olarak nabız ve kalp atımından çıkarılan öznitelikler

için kullanılacak öznitelik vektörü $\mathbf{f} \in \mathbb{R}^{22 \times 1}$,

$$\mathbf{f} = \{f_I, f_{H_{10}}, f_{H_{1.5}}\}, \quad (1)$$

f_I , $f_{H_{10}}$ ve $f_{H_{1.5}}$ 'nin yan yana eklenmesiyle oluşturulmuştur. Özniteliklerin detayları Tablo I'de ayrıntılı şekilde gösterilmiştir.

B. Sınıflandırma

Sınıflandırma sistemi her bir f için 3 sınıflı $R = \{REM, Light, Deep\}$ kümesinden birini seçerek bir karar verir. Uyku fazları ile nabız ve kalp hızı değişkenliğinin lineer olmayan ilişkisi göz önüne alınarak uyku fazları sınıflandırılması amacıyla ANN kullanılmıştır.

C. İstifleme

İstifleme sistemi düşük katman sayısına sahip ANN'leri paralel olarak ekleyerek, eğitim sisteminin parametre sayısını lineer olarak arttırmaya dayalı bir çözümdür.



Şekil 2: MRD103'ün görüntüleri

Bu çalışmada önerdiğimiz istifleme bazlı mimari Şekil 1'de gösterilmiştir. Bu mimari iki ana modülden oluşmaktadır: N tane paralel baz ANN, ve meta ANN. Baz kısmındaki her bir ANN, uyku fazları tahmini için f ile eğitilirken, ikinci modül meta-ANN baz ANN'lerin tahminleriyle (p^i) uyku fazları tahmini için eğitilir. Böylece meta-ANN, baz ANN'lerin hangisine güveneceğini, ve tahminlerin en iyi şekilde nasıl birleştirilip uyku fazı tahmini yapılacağını öğrenmiş olur.

III. DENEYSEL ÇALIŞMA

Şekil 1'de önerilen mimarinin eğitimi sırasında 0.001 öğrenme hızıyla Adam en iyileyci kullanılmıştır. Öğrenme sırasında 32'lik yığınlar (batch) kullanılmış olup, 10 epokluk sabırlı erken durdurma (Early Stopping) seçeneğiyle 50 epok boyunca eğitim yapılmıştır.

Önerilen mimarideki ANN'ler 2 katmanlı olup, katmanlar arasında 0.2'lik bırakma (Drop-Out) katmanı kullanılmıştır. Birinci katmanda 9 nöron, ikinci katmanda 7 nöron kullanılmıştır. Çalışmamızda $N = 4$ olarak kullanıp, iki ANN'i *RELU* aktivasyonu ile, diğer iki ANN ise *TanH* aktivasyonu ile eğittik. Meta ANN istiflenen sinir ağlarından farklı olarak tek katmanlı olup, 5 nöron ve lineer aktivasyona sahiptir.

A. Veri Kümesi

Çalışma kapsamında 24 farklı kişiden 31 gecelik uyku verisi toplanmıştır. Bu veriler Şekil 2'de gösterilen, çalışma grubu tarafından referans tasarım olarak geliştirilmiş, bir giyilebilir saat (MRD103) ile toplanmıştır. MRD103 içinde fotopletismografi (PPG) ve ivme ölçer bulunduran bir saat olmakla beraber, bu sensörler saati takan insanın hareketlerini ve nabzını takibini sağlamak için kullanılır.

Veri toplama sırasında deneklerden MRD103'u bileklerine takmaları ve saati uykuya dalmadan en az 30 dakika önce takmış olmaları istenmiştir. MRD103 ile beraber denekler referans cihazı olarak kullandığımız EEG bazlı kafa bandını (Zeo Sleep Manager) takmaları istenmiştir. Toplanan veri kümesinin istatistik bilgileri Tablo II verilmiştir.

B. Değerlendirme Kriteri

Bu çalışma temelinde bir sınıflandırma olduğu için, performans değerlendirmesini ağırlıksız ortalama Doğruluk(D) ve F1-skoru kriterleri üzerinden yapılmıştır. Ortalama performans değerlendirmesi, her bir sınıfın performansını kullanarak aşağıdaki gibi hesaplanmıştır:

$$UD = \frac{1}{N} \sum_i^N D_i, \quad (2)$$

$$UF1 = \frac{1}{N} \sum_i^N F1_i \quad (3)$$

ve $i \in \{REM, Light, Deep\}$, N sınıf sayısı ($N = 3$) olarak adlandırılmıştır.

	Ortalama	Standart Sapma
Yaş	31.05	4.53
Deney Süresi	388.10 dk	114.13 dk
Uyku Süresi	303.57 dk	116.24 dk
Uyanıklık Süresi	84.51 dk	59.77 dk
REM Süresi	81.97 dk	41.23 dk
Light Süresi	158.51 dk	72.06 dk
Deep Süresi	60.41 dk	35.68 dk

TABLO II: Uyku takibi çalışması kapsamında toplanan veri kümesinin istatistik bilgileri

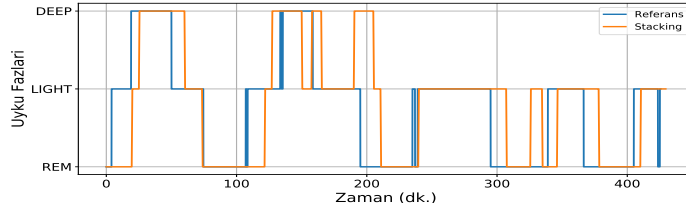
C. Sonuçlar

Şekil 4'de görüldüğü üzere istifleme metodu REM ve DEEP sınıflarını sınıflandırmada üstün bir performansa sahiptir. REM ve DEEP süreleri uykunun kalitesine LIGHT sınıfından daha çok etki eder, ve bu sınıfların doğru şekilde belirlenmesi önemlidir. Sistemin REM'deki 0.75'lik duyarlılık başarısı, ise insan vücudunun REM fazında uyanıklığa benzer hareket etmesi, dolayısıyla nabızdan çıkarılan özniteliklerin diğer uyku fazlarından ayrık olmasıyla açıklanabilir. Önerilen metod LIGHT sınıflandırması için 0.51 duyarlılığına sahip ve diğer sınıflara bir yanlılığı olmadığı görülmüştür. Bu durum LIGHT evresinin REM ile DEEP arasındaki bir geçiş evresi olmasıyla açıklanabilir.

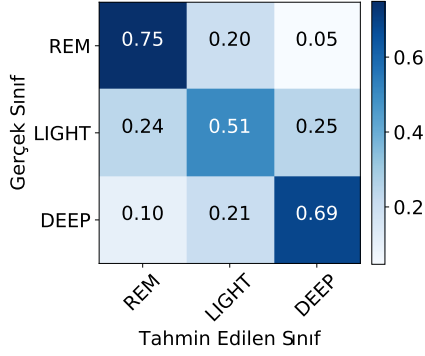
Model	Doğruluk(UD)	F1 Skoru(UF1)	Parametre Sayısı
ANN0	0.51	0.49	411
ANN1	0.56	0.48	411
ANN2	0.49	0.48	411
ANN3	0.53	0.53	411
ANN BIG	0.54	0.5	2200
LSTM	0.56	0.53	8623
STACKING	0.60	0.61	1720

TABLO III: Farklı sınıflandırma yöntemleriyle önerilen istifleme yaklaşımının 3 sınıflı sınıflandırması için performans karşılaştırılması

İstifleme yöntemi, Şekil 1'deki baz ANN'ler, 6 katmanlı (ANN BIG) bir yapay sinir ağı ve LSTM ile karşılaştırılmıştır. İstifleme yöntemi Tablo III'de gösterildiği gibi hem Doğruluk hem de F1 Skorunda diğer mimarilerden daha üstün bir



Şekil 3: İstifleme yönteminin bir gecelik veri üzerinde referans ile karşılaştırılması



Şekil 4: Önerilen istifleme metodunun performansı

performansa sahiptir. İstifleme metodu baz olarak kullanılan ANN'lerden Doğruluk'ta en az %8, F1-skorunda en az %14 daha başarılıdır. Bu sonuçlar meta-ANN ile ikinci bir eğitim basamağının başarısını göstermektedir. Özellikle önerilen sistemin, 2 katman ve 25 üniteli LSTM'den F1 açısından %14 daha iyi sonuç elde etmesi dikkat çekicidir. LSTM'lerin ANN'lerden yüksek karmaşıklıkları dikkate alındığında, daha üstün bir performans sağlamaları beklenir. Önerilen sistemin bir gecelik veri üzerinde çıktıları ve referans ile karşılaştırması Şekil 3'te örnek olarak verilmiştir.

Sistemin performansını literatürle karşılaştırabilmek adına sistemi Uyanıklık (WAKE), REM ve NREM (LIGHT-DEEP) şeklinde 3 sınıflı sınıflandırma için tekrar eğittik. Ancak biz bu çalışmada öznelikleri çıkarırken, [8]'nin aksine denek bazlı bir öznelik ölçeklendirmesi yapmayıp, bütün deneklerin öznelikleri üst üste eklendikten sonra öznelik ölçeklendirilmesi yaptık. Denek bazlı ölçeklendirme izlendiğinde önerdiğimiz mimarinin doğruluğunun 0.75'e ulaştığı gözlemlenmiştir, ve [8]'nin önerdiği ve doğruluğu 0.73 olan sistemden daha üstün olduğu görülmüştür. Bu sonuç önerilen mimarinin aynı koşullar altında literatürden daha iyi bir başarımının olduğunu göstermektedir.

Önerdiğimiz sınıflandırma yönteminin parametre sayısı 1720 olup, herhangi bir sıkıştırma yöntemi olmaksızın 4 baytlık (byte) reel sayılarla (float) gerçekleştirildiğinde, gömülü ortamda yaklaşık 4.2 kilobaytlık (kB) bir alan kaplar. Örnek bir mikrodenetleyici olan MAX32660 96 kB'lık RAM'e sahiptir. Önerilen yöntem MAX32660 gibi tipik bir mikrodenetleyicinin RAM'inin sadece %4.4'ünü işgal ederek, sınırlı kaynaklı ortamlar için hem yüksek performanslı hem de hafıza açısından hesaplı bir çözüm olduğunu göstermiştir.

Önerilen sistemin aynı koşullarda literatürden daha iyi doğruluğa sahip olması, ve bu performansa düşük alan ve

enerji ihtiyaçlarıyla ulaşması, bu çalışmanın uzun süreli uyku takibini mümkün kıldığı göstermiştir.

IV. SONUÇ

Bu çalışmada nabız ve kalp atım aralıkları bazlı öznelik çıkarımı ile istifleme bazlı bir sınıflandırma sistemi önerilmiştir. Bu özgün öznelik çıkarım yöntemi uyku fazlarının döngüsel yapısını göz önüne alarak farklı zaman pencereleri üzerinde işlem yapmaktadır. Çıkarılan öznelikler istifleme yöntemiyle birleştirilmiş ANN'lere aktararak sınıflandırılma gerçekleştirilmiştir.

Önerilen sistemin efektifliğini gösterebilmek amacıyla 24 farklı kişiden 31 gecelik bir veri kümesi toplanmıştır. Toplanan veri kümesi üzerinde çapraz doğrulama yöntemiyle önerilen sistemin F1 ve doğruluk performansı hesaplanmıştır. Bu deneyler sonucu görülmüştür ki F1 açısından ANN BIG'ten %20, RNN'den %14 daha iyi sonuçlar elde etmiştir. Ayrıca, bu performansı ortalama bir mikro denetleyicinin hafızasının sadece %4'ünü kapsayarak elde etmiştir

KAYNAKLAR

- [1] X. Long, P. Fonseca, J. Foussier, R. Haakma, and R. M. Aarts, "Sleep and wake classification with actigraphy and respiratory effort using dynamic warping," *IEEE journal of biomedical and health informatics*, vol. 18, no. 4, pp. 1272–1284, 2013.
- [2] Q. He, P. Zhang, G. Li, H. Dai, and J. Shi, "The association between insomnia symptoms and risk of cardio-cerebral vascular events: A meta-analysis of prospective cohort studies," *European journal of preventive cardiology*, vol. 24, no. 10, pp. 1071–1082, 2017.
- [3] X. Zhang, W. Kou, I. Eric, C. Chang, H. Gao, Y. Fan, and Y. Xu, "Sleep stage classification based on multi-level feature learning and recurrent neural networks via wearable device," *Computers in biology and medicine*, vol. 103, pp. 71–81, 2018.
- [4] H. Phan, F. Andreotti, N. Cooray, O. Y. Chén, and M. De Vos, "Seqsleepnet: end-to-end hierarchical recurrent neural network for sequence-to-sequence automatic sleep staging," *IEEE Transactions on Neural Systems and Rehabilitation Engineering*, vol. 27, no. 3, pp. 400–410, 2019.
- [5] K. Mikkelsen and M. De Vos, "Personalizing deep learning models for automatic sleep staging," *arXiv preprint arXiv:1801.02645*, 2018.
- [6] M. O. Mendez, M. Matteucci, V. Castronovo, L. Ferini-Strambi, S. Cerutti, and A. Bianchi, "Sleep staging from heart rate variability: time-varying spectral features and hidden markov models," *International Journal of Biomedical Engineering and Technology*, vol. 3, no. 3-4, pp. 246–263, 2010.
- [7] X. Zhang, W. Kou, I. Eric, C. Chang, H. Gao, Y. Fan, and Y. Xu, "Sleep stage classification based on multi-level feature learning and recurrent neural networks via wearable device," *Computers in biology and medicine*, vol. 103, pp. 71–81, 2018.
- [8] P. Fonseca, T. Weysen, M. S. Goelema, E. I. Møst, M. Radha, C. Lunsingh Scheurleer, L. van den Heuvel, and R. M. Aarts, "Validation of photoplethysmography-based sleep staging compared with polysomnography in healthy middle-aged adults," *Sleep*, vol. 40, no. 7, p. zsx097, 2017.